

文章编号: 0254- 5357(2001)02- 0105- 03

# 钍-茜素氨羧络合剂极谱络合吸附波的研究

易芬云, 黎拒难, 朱义文, 费俊杰  
(湘潭大学化学化工学院, 湖南 湘潭 411105)

**摘要:** 在邻苯二甲酸氢钾和醋酸混合底液(pH 5.0)中, 钉与茜素氨羧络合剂(ALC)形成电活性络合物, 在单扫描极谱仪上于-0.60 V (vs. SCE)产生一灵敏的络合吸附波, 其二阶导数峰高与钉的浓度在 $3.0 \times 10^{-8} \sim 3.0 \times 10^{-6}$  mol/L 呈线性关系, 检出限为 $1.5 \times 10^{-8}$  mol/L。用等摩尔连续变化法测得该络合物的摩尔比为 $n_{\text{Th(IV)}} : n_{\text{ALC}} = 1 : 1$ , 并探讨了极谱波的性质和电极反应机理。方法用于矿石和粘土中痕量钍的测定, RSD( $n = 5$ ) < 4%, 加标回收试验, 回收率为 101.5% ~ 103.2%。

**关键词:** 钉; 茜素氨羧络合剂; 极谱络合吸附波

**中图分类号:** O657.14; O614.42      **文献标识码:** A

络合物极谱吸附波测定 Th(IV) 主要是利用铜铁试剂和 Th(IV) 的络合吸附波进行测定的, 虽然有些体系<sup>[1,2]</sup> 灵敏度较高, 但操作繁冗, 且铜铁试剂不稳定, 容易分解变质, 这给实验带来不便。黎拒难等<sup>[3]</sup> 利用钍-镧(铈)-茜素 S 异多核络合物吸附波测定了 Th(IV), 检出限为 $1 \times 10^{-8}$  mol/L ( $2 \times 10^{-8}$  mol/L)。赵藻藩等<sup>[4]</sup> 利用二甲苯胺蓝 I 与 Th(IV) 形成络合物测定了浓度为 $3.5 \times 10^{-8} \sim 3 \times 10^{-6}$  mol/L 的 Th(IV)。郑克勤等<sup>[5]</sup> 以铬天青 S 为络合剂测定了 Th(IV), 线性范围为 0 ~ 0.4 mg/L。

本文研究表明, 在含有 0.03 mol/L 邻苯二甲酸氢钾的 0.1 mol/L HAc-NaAc 缓冲溶液(pH 5.0)中, Th(IV) 与茜素氨羧络合剂(ALC)形成的络合物在单扫描极谱上于-0.60 V (vs. SCE) 产生一灵敏的络合吸附波, 据此建立了极谱法测定 Th(IV) 的方法。用此方法测定了矿石和粘土中痕量 Th(IV), 回收实验结果良好。初步探讨了该极谱波的性质和电极反应机理。

## 1 实验部分

### 1.1 仪器和试剂

JP-2型示波极谱仪(成都仪器厂); PAR-174A型极谱分析仪, 配 M303 静汞滴电极(美国 PAR 公司); pHs-3C 型酸度计(上海雷磁仪器厂)。

收稿日期: 2000-09-05; 修订日期: 2001-03-14

作者简介: 易芬云(1973-), 女, 湖南邵阳人, 硕士研究生; 黎拒难(1944-), 男, 湖南邵阳人, 教授, 通讯联系人。

All rights reserved. <http://www.ykcs.ac.cn>

Th(IV) 标准溶液:  $1.00 \times 10^{-3}$  mol/L (pH ≈ 1), 使用时用 0.1 mol/L HCl 逐级稀释至所需浓度; 茜素氨羧络合剂(G.R.):  $1.0 \times 10^{-4}$  mol/L; 混合底液: 含 0.15 mol/L 邻苯二甲酸氢钾的 0.5 mol/L HAc-NaAc 缓冲溶液(pH 5.0); 其他试剂皆为分析纯, 实验用水为二次蒸馏水。

### 1.2 实验方法

移取一定量的 Th(IV) 标准溶液于 10 mL 比色管中, 依次加入 1.2 mL ALC 和 2 mL 混合底液, 稀释至刻度, 摆匀后倒入 10 mL 电解池中, 放置 10 min 后, 在单扫描极谱仪上于-0.30 V 开始扫描, 记录-0.60 V 处的二阶导数峰高(如图 1 所示)。

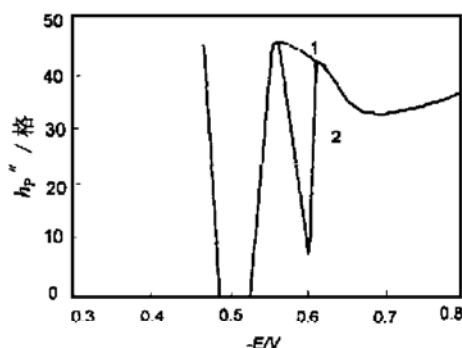


图 1 二阶导数极谱图(0.04 μA 档)

Fig. 1 The second derivative polarographic curves  
1-Alizarin complexon( $1.2 \times 10^{-5}$  mol/L)+buffer solution  
(pH 5.0); 2- $\text{I}^+ \text{Th(IV)}$  ( $6.0 \times 10^{-7}$  mol/L)



管曲线显著降低; ②在5~40℃测得其温度系数随温度的变化曲线呈抛物线状; ③在PAR-174A型极谱分析仪的静汞滴电极上, 测得峰电流开始随扫描前静止时间的延长而升高, 然后因达到吸附平衡而基本不变, 如再延长静止时间峰电流反而略有降低; ④实验测定了峰电流与扫描速度的关系, 结果表明常规峰电流与扫描速度呈正比; ⑤少量的阴离子表面活性剂(如十二烷基苯磺酸钠)对峰高几乎没有影响, 中性表面活性剂(如Triton X-100)、阳离子表面活性剂(如十六烷基三甲基溴化铵)使峰高严重降低。上述5点可证明该极谱波为络合物吸附波。

## 2.7 电极反应机理的初步探讨

①随溶液pH值增加, ALC试剂峰和络合物峰电位同时负移, 在实验pH值范围(4.2~5.6)内pH值与络合物峰电位呈直线关系, 线性回归方程为 $E_p = -0.25 - 0.060 \text{ pH}, r = 0.9883$ 。这与蒽醌基还原的能斯特方程是一致的。②在PAR-174A型极谱分析仪上获得了该体系的循环伏安图(图2)。当没有Th(IV)存在时, 只有ALC的蒽醌基还原成蒽氢醌的还原峰 $P_{1c}$ 和蒽氢醌的氧化峰 $P_{1a}$ (图2中的曲线1)。当有Th(IV)存在时, 在较负的电位处产生一个新的还原峰 $P_{2c}$ , 阳极扫描时有对应的氧化峰 $P_{2a}$ , 且 $E_{P_{2c}} = E_{P_{2a}} = -0.60 \text{ V}$ , 说明络合物强烈吸附, 是一可逆的吸附氧化-还原过程。同时试剂的还原峰和氧化峰都有所降低, 这说

明络合物的配体还原后络合物并没有离解, 而是继续以络合的形式吸附在电极上。

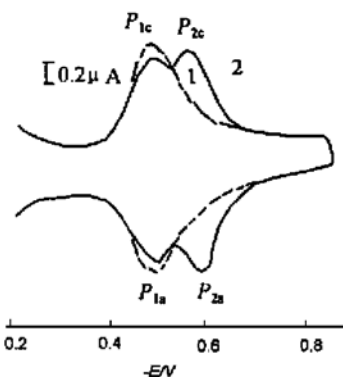


图2 循环伏安图

Fig. 2 Cyclic voltammograms

pH 5.0 buffer solution;  $\Omega = 100 \text{ mV/s}$ ; quiescent period: 30 s.

1—ALC( $1.2 \times 10^{-5} \text{ mol/L}$ ); 2—1+ Th(IV) ( $6.0 \times 10^{-6} \text{ mol/L}$ )。

## 3 参考文献

- [1] 姚修仁, 周继兴, 李春芳. 钉的催化波及其在矿石分析中的应用[J]. 分析化学, 1984, 12(8): 671~674.
- [2] 王享芝. 在四丁基碘化铵-铜铁试剂体系中用极谱法同时测定痕量铀和钍[J]. 铀矿地质, 1991, 7(3): 188~192.
- [3] 黎拒难, 赵藻藩. 钉-镧(铈)-茜素S异多核络合物吸附波[J]. 分析化学, 1984, 12(5): 347~352.
- [4] Zhao Z F, Cai X H, Li P B. Polarographic Determination of Trace Amounts of Thorium[J]. Talanta, 1986, 33(7): 623~625.
- [5] 郑克勤, 刘魁, 刘鸿皋. 钉-铬天青S的极谱吸附波[J]. 分析试验室, 1991, 10(1): 41~42.

# Polarographic Adsorptive Wave of Thorium-Alizarin Complexon Complex

YI Fen-yun, LI Ju-nan, ZHU Yi-wen, FEI Jun-jie  
(Department of Chemistry, Xiangtan University, Xiangtan 411105, China)

**Abstract:** A sensitive adsorptive wave of thorium-Alizarin complexon complex has been obtained by using single-sweep polarography in  $3 \times 10^{-2} \text{ mol/L}$  potassium biphthalate- $0.1 \text{ mol/L}$  acetate mixed buffer (pH 5.0) containing  $1.2 \times 10^{-5} \text{ mol/L}$  alizarin complexon. The second-order derivative peak height of the complex at  $-0.60 \text{ V}$  (vs. SCE) is proportional to the concentration of Th(IV) over the range of  $3.0 \times 10^{-8} \sim 3.0 \times 10^{-6} \text{ mol/L}$ . The detection limit for Th(IV) is  $1.5 \times 10^{-8} \text{ mol/L}$ . The molar ratio of each component in the complex has been estimated as  $n_{\text{Th(IV)}} : n_{\text{ALC}} = 1 : 1$ . The properties of the polarographic wave and the electrode reaction mechanism are also discussed in detail. The recovery of standard addition of the method for Th(IV) is 101.5%~103.2% with precision of less than 4% RSD ( $n = 5$ ). The method has been applied to the determination of the trace Th(IV) in the ore and clay samples with satisfactory results.

**Key words:** thorium; alizarin complexon; polarographic adsorptive wave